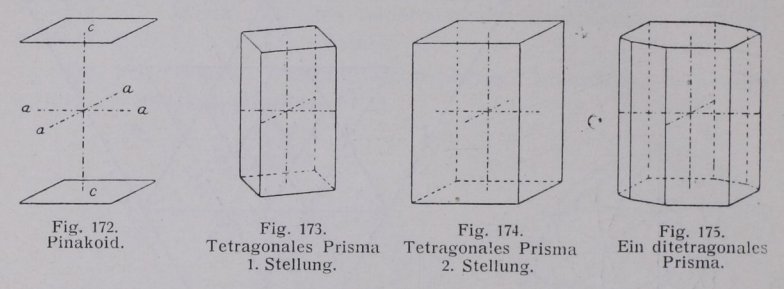
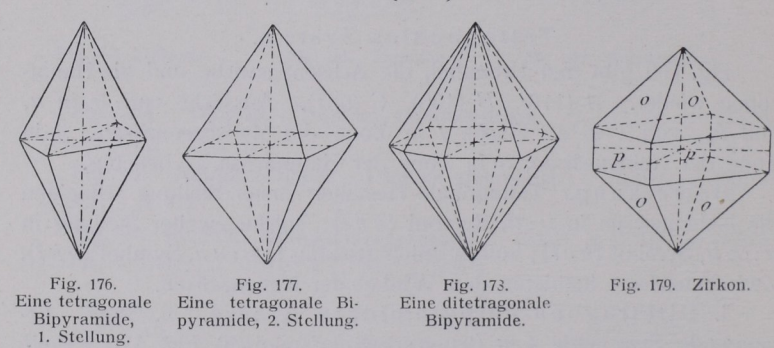
staltstypen aus den sieben Punktlagen A, B, C, 1, 2, 3, 4 des Urbauteils in Fig. 169 abzuleiten.



- a. Flächen senkrecht zur Hauptachse.
  - C. Pinakoid {001}. Fig. 172.
- β. Flächen parailel zur Hauptachse.
  - A. Tetragonales Prisma erster Stellung {110}. Fig. 173.
  - B. Tetragonales Prisma zweiter Stellung {100}. Fig. 174.
  - 3. Ditetragonale Prismen {hko}. Fig. 175.



- γ. Flächen schräg zur Hauptachse.
  - 1. Tetragonale Bipyramiden erster Stellung  $\{hhl\}$ . Fig. 176.

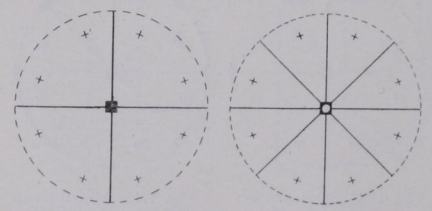


Fig. 180. Erzeugende Symmetrie der ditetragonal- ditetragonal-pyramidales pyramidalen Klasse (4 d).

Fig. 181. Allgemeines Bauschema.

- 2. Tetragonale Bipyramiden zweiter Stellung {hol}. Fig. 177.
- 4. Ditetragonale Bipyramiden  $\{h \, k \, l\}$ . Fig. 178.

II. Ditetragonal-pyramidale Klasse. 4. Stufe. Erzeugende Symmetrie 4 d (tetragyrisch domatisch)